

Starkniederschlagshöhen und -spenden gemäß KOSTRA-DWD-2020

Rasterfeld 130109

(Zeile 130, Spalte 109)

Regenspende und Bemessungsniederschlagswerte in Abhängigkeit von Wiederkehrzeit T und Dauerstufe D

| Dauerstufe D | | Wiederkehrzeit T | | | | | | | | | | | | | | | | | |
|--------------|-----|------------------|------------|------|------------|------|------------|------|------------|-------|------------|-------|------------|-------|------------|-------|------------|-------|------------|
| | | 1 a | | 2 a | | 3 a | | 5 a | | 10 a | | 20 a | | 30 a | | 50 a | | 100 a | |
| min | Std | mm | l / (s ha) | mm | l / (s ha) | mm | l / (s ha) | mm | l / (s ha) | mm | l / (s ha) | mm | l / (s ha) | mm | l / (s ha) | mm | l / (s ha) | mm | l / (s ha) |
| 5 | | 6,1 | 203,3 | 7,5 | 250,0 | 8,3 | 276,7 | 9,5 | 316,7 | 11,1 | 370,0 | 12,7 | 423,3 | 13,8 | 460,0 | 15,2 | 506,7 | 17,2 | 573,3 |
| 10 | | 8,0 | 133,3 | 9,7 | 161,7 | 10,8 | 180,0 | 12,3 | 205,0 | 14,3 | 238,3 | 16,5 | 275,0 | 17,9 | 298,3 | 19,7 | 328,3 | 22,3 | 371,7 |
| 15 | | 9,1 | 101,1 | 11,2 | 124,4 | 12,4 | 137,8 | 14,1 | 156,7 | 16,4 | 182,2 | 18,9 | 210,0 | 20,5 | 227,8 | 22,6 | 251,1 | 25,6 | 284,4 |
| 20 | | 10,0 | 83,3 | 12,3 | 102,5 | 13,6 | 113,3 | 15,5 | 129,2 | 18,1 | 150,8 | 20,8 | 173,3 | 22,5 | 187,5 | 24,8 | 206,7 | 28,1 | 234,2 |
| 30 | | 11,4 | 63,3 | 13,9 | 77,2 | 15,5 | 86,1 | 17,6 | 97,8 | 20,5 | 113,9 | 23,6 | 131,1 | 25,6 | 142,2 | 28,2 | 156,7 | 32,0 | 177,8 |
| 45 | | 12,9 | 47,8 | 15,8 | 58,5 | 17,6 | 65,2 | 19,9 | 73,7 | 23,3 | 86,3 | 26,7 | 98,9 | 29,0 | 107,4 | 32,0 | 118,5 | 36,3 | 134,4 |
| 60 | 1 | 14,1 | 39,2 | 17,2 | 47,8 | 19,2 | 53,3 | 21,7 | 60,3 | 25,4 | 70,6 | 29,2 | 81,1 | 31,7 | 88,1 | 34,9 | 96,9 | 39,6 | 110,0 |
| 90 | 1,5 | 15,9 | 29,4 | 19,5 | 36,1 | 21,6 | 40,0 | 24,5 | 45,4 | 28,7 | 53,1 | 32,9 | 60,9 | 35,7 | 66,1 | 39,4 | 73,0 | 44,7 | 82,8 |
| 120 | 2 | 17,3 | 24,0 | 21,2 | 29,4 | 23,6 | 32,8 | 26,7 | 37,1 | 31,2 | 43,3 | 35,9 | 49,9 | 38,9 | 54,0 | 42,9 | 59,6 | 48,6 | 67,5 |
| 180 | 3 | 19,5 | 18,1 | 23,9 | 22,1 | 26,6 | 24,6 | 30,1 | 27,9 | 35,2 | 32,6 | 40,4 | 37,4 | 43,9 | 40,6 | 48,4 | 44,8 | 54,8 | 50,7 |
| 240 | 4 | 21,3 | 14,8 | 26,0 | 18,1 | 28,9 | 20,1 | 32,8 | 22,8 | 38,3 | 26,6 | 44,0 | 30,6 | 47,7 | 33,1 | 52,6 | 36,5 | 59,7 | 41,5 |
| 360 | 6 | 23,9 | 11,1 | 29,3 | 13,6 | 32,6 | 15,1 | 36,9 | 17,1 | 43,1 | 20,0 | 49,5 | 22,9 | 53,8 | 24,9 | 59,3 | 27,5 | 67,2 | 31,1 |
| 540 | 9 | 26,9 | 8,3 | 32,9 | 10,2 | 36,6 | 11,3 | 41,5 | 12,8 | 48,5 | 15,0 | 55,8 | 17,2 | 60,5 | 18,7 | 66,7 | 20,6 | 75,6 | 23,3 |
| 720 | 12 | 29,3 | 6,8 | 35,8 | 8,3 | 39,8 | 9,2 | 45,1 | 10,4 | 52,8 | 12,2 | 60,6 | 14,0 | 65,8 | 15,2 | 72,5 | 16,8 | 82,2 | 19,0 |
| 1080 | 18 | 33,0 | 5,1 | 40,3 | 6,2 | 44,8 | 6,9 | 50,8 | 7,8 | 59,4 | 9,2 | 68,2 | 10,5 | 74,0 | 11,4 | 81,6 | 12,6 | 92,5 | 14,3 |
| 1440 | 24 | 35,9 | 4,2 | 43,8 | 5,1 | 48,8 | 5,6 | 55,2 | 6,4 | 64,6 | 7,5 | 74,2 | 8,6 | 80,5 | 9,3 | 88,8 | 10,3 | 100,6 | 11,6 |
| 2880 | 48 | 43,9 | 2,5 | 53,6 | 3,1 | 59,6 | 3,4 | 67,6 | 3,9 | 79,0 | 4,6 | 90,8 | 5,3 | 98,5 | 5,7 | 108,6 | 6,3 | 123,1 | 7,1 |
| 4320 | 72 | 49,3 | 1,9 | 60,3 | 2,3 | 67,1 | 2,6 | 76,0 | 2,9 | 88,9 | 3,4 | 102,1 | 3,9 | 110,8 | 4,3 | 122,2 | 4,7 | 138,4 | 5,3 |
| 5760 | 96 | 53,6 | 1,6 | 65,6 | 1,9 | 72,9 | 2,1 | 82,6 | 2,4 | 96,6 | 2,8 | 111,0 | 3,2 | 120,4 | 3,5 | 132,8 | 3,8 | 150,5 | 4,4 |
| 7200 | 120 | 57,2 | 1,3 | 70,0 | 1,6 | 77,8 | 1,8 | 88,2 | 2,0 | 103,1 | 2,4 | 118,4 | 2,7 | 128,5 | 3,0 | 141,7 | 3,3 | 160,6 | 3,7 |
| 8640 | 144 | 60,4 | 1,2 | 73,8 | 1,4 | 82,1 | 1,6 | 93,0 | 1,8 | 108,7 | 2,1 | 124,9 | 2,4 | 135,5 | 2,6 | 149,4 | 2,9 | 169,3 | 3,3 |
| 10080 | 168 | 63,1 | 1,0 | 77,1 | 1,3 | 85,8 | 1,4 | 97,2 | 1,6 | 113,7 | 1,9 | 130,6 | 2,2 | 141,7 | 2,3 | 156,2 | 2,6 | 177,1 | 2,9 |

Starkniederschlagshöhen und -spenden gemäß KOSTRA-DWD-2020

Rasterfeld 130109

(Zeile 130, Spalte 109)

Örtliche Unsicherheiten in Abhängigkeit von Wiederkehrzeit T und Dauerstufe D

| Dauerstufe D | | Wiederkehrzeit T | | | | | | | | |
|--------------|-----|------------------|-----|-----|-----|------|------|------|------|-------|
| | | 1 a | 2 a | 3 a | 5 a | 10 a | 20 a | 30 a | 50 a | 100 a |
| min | Std | ± % | ± % | ± % | ± % | ± % | ± % | ± % | ± % | ± % |
| 5 | | 10 | 12 | 13 | 14 | 15 | 15 | 16 | 16 | 17 |
| 10 | | 14 | 16 | 17 | 18 | 19 | 20 | 20 | 21 | 21 |
| 15 | | 15 | 17 | 18 | 19 | 20 | 21 | 22 | 22 | 23 |
| 20 | | 16 | 18 | 19 | 20 | 21 | 22 | 22 | 23 | 23 |
| 30 | | 16 | 18 | 19 | 20 | 21 | 22 | 22 | 23 | 23 |
| 45 | | 15 | 17 | 18 | 19 | 21 | 22 | 22 | 23 | 23 |
| 60 | 1 | 15 | 17 | 18 | 19 | 20 | 21 | 22 | 22 | 23 |
| 90 | 1,5 | 14 | 16 | 17 | 18 | 19 | 20 | 20 | 21 | 22 |
| 120 | 2 | 13 | 15 | 16 | 17 | 18 | 19 | 20 | 20 | 21 |
| 180 | 3 | 12 | 14 | 15 | 16 | 17 | 18 | 18 | 19 | 19 |
| 240 | 4 | 11 | 13 | 14 | 15 | 16 | 17 | 17 | 18 | 19 |
| 360 | 6 | 9 | 11 | 12 | 13 | 14 | 15 | 16 | 16 | 17 |
| 540 | 9 | 8 | 10 | 11 | 12 | 13 | 14 | 15 | 15 | 16 |
| 720 | 12 | 8 | 9 | 10 | 11 | 12 | 13 | 14 | 14 | 15 |
| 1080 | 18 | 7 | 9 | 9 | 10 | 11 | 12 | 12 | 13 | 13 |
| 1440 | 24 | 7 | 8 | 9 | 9 | 10 | 11 | 12 | 12 | 13 |
| 2880 | 48 | 8 | 8 | 8 | 9 | 9 | 10 | 10 | 10 | 11 |
| 4320 | 72 | 9 | 8 | 8 | 8 | 9 | 9 | 10 | 10 | 10 |
| 5760 | 96 | 10 | 9 | 9 | 9 | 9 | 9 | 9 | 10 | 10 |
| 7200 | 120 | 10 | 9 | 9 | 9 | 9 | 9 | 9 | 10 | 10 |
| 8640 | 144 | 11 | 10 | 10 | 9 | 9 | 9 | 10 | 10 | 10 |
| 10080 | 168 | 12 | 10 | 10 | 10 | 10 | 10 | 10 | 10 | 10 |

Parameter für abweichende T und D

Lokationsparameter ξ (Xi)

14,264562

Skalenparameter α (Alpha)

4,40464103

Formparameter κ (Kappa)

-0,1

1. Koutsoyiannis-Parameter θ (Theta)

0,01546631

2. Koutsoyiannis-Parameter η (Eta)

0,70960708

Parameter für dauerstufenübergreifende Extremwertschätzung nach KOUTSOYIANNIS et al. 1998.

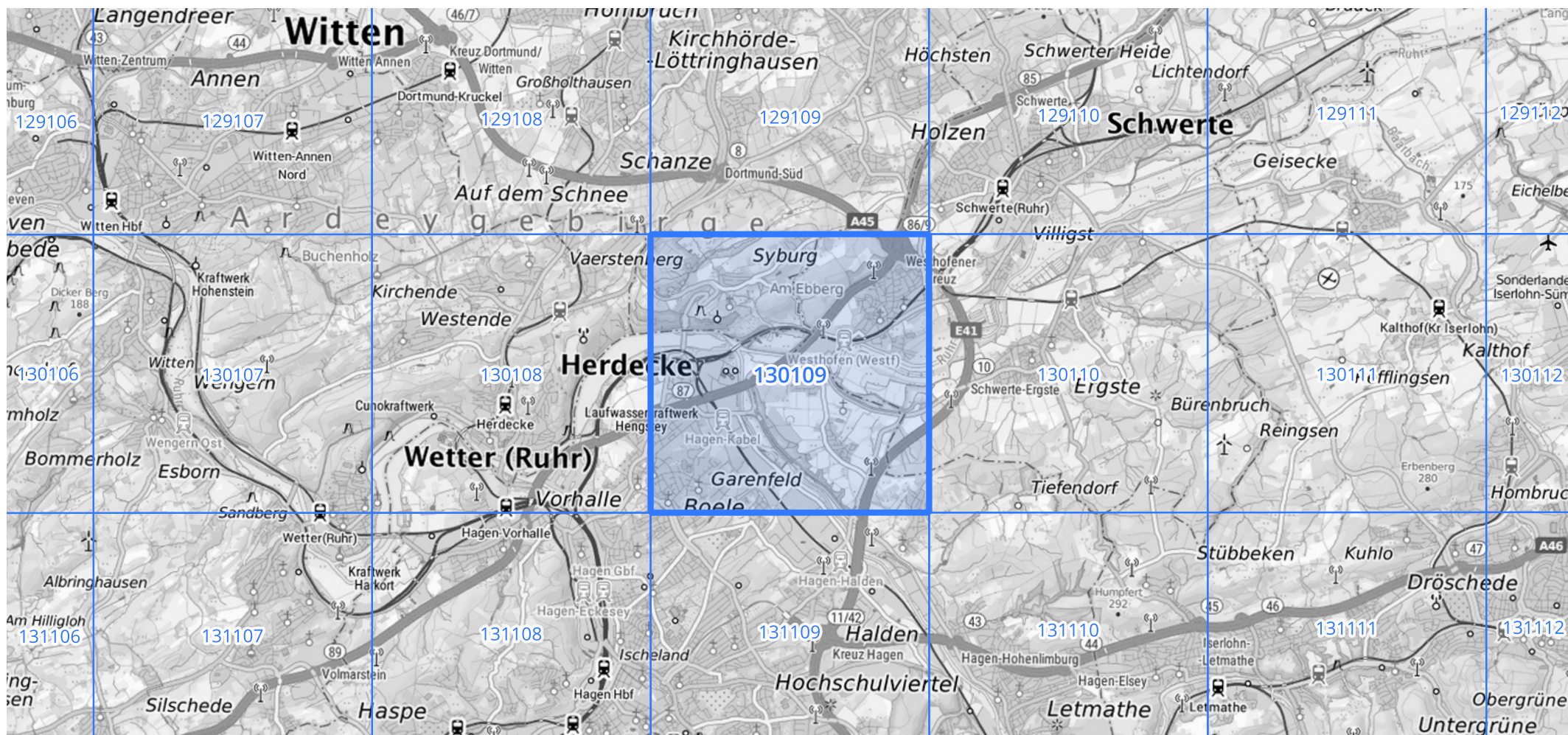
Siehe auch Anwendungshilfe zu KOSTRA-DWD-2020 des Deutschen Wetterdienstes.

Starkniederschlagshöhen und -spenden gemäß KOSTRA-DWD-2020

Rasterfeld 130109

(Zeile 130, Spalte 109)

Übersichtskarte des Rasterfeldes 130109, M 1 : 100 000



Quelle Rasterdaten: KOSTRA-DWD-2020 des Deutschen Wetterdienstes, Stand 12/2022.

Seite 3 von 3

Kartendarstellung: © Bundesamt für Kartographie und Geodäsie (2023), Datenquellen: https://sgx.geodatenzentrum.de/web_public/gdz/datenquellen/Datenquellen_TopPlusOpen.html

Für die Richtigkeit und Aktualität der Angaben wird keine Gewähr übernommen. Erstellt 01/2023.